

(©1995 г.

## ФОТОЛЮМИНЕСЦЕНЦИЯ ЛЕГИРОВАННЫХ МНОЖЕСТВЕННЫХ КВАНТОВЫХ ЯМ GaAs/Al<sub>x</sub>Ga<sub>1-x</sub>As ПРИ ВЫСОКОМ УРОВНЕ ВОЗБУЖДЕНИЯ

*Б.Р. Варданян, А.Э. Юнович*

Московский государственный университет им. М.В.Ломоносова,  
119899, Москва, Россия

(Получена 3 октября 1994 г. Принята к печати 13 декабря 1994 г.)

При высоком уровне возбуждения  $\approx 2 \cdot 10^5$  Вт/см<sup>2</sup> и  $T = 80$  К исследованы спектры фотолюминесценции (ФЛ) множественных квантовых ям (МКЯ) GaAs/Al<sub>x</sub>Ga<sub>1-x</sub>As с ширинами ям  $L_z = 3 \div 4$  нм, легированных донорами (Si). Полоса ширины спектров достигала 40–100 мэВ. Рассмотрено влияние флюктуации ширины ям, концентрации легирующих доноров  $N_D \approx (0.5 \div 1) \cdot 10^{18}$  см<sup>-3</sup>, а также плотности двумерного электронно-дырочного газа на спектры ФЛ. Показано, что при неравновесных концентрациях  $n^{2D} \approx (10^{11} \div 10^{12})$  см<sup>-2</sup> существенны как заполнение квазидвумерных состояний в сторону высоких энергий, так и перенормировка запрещенной зоны легированной двумерной системы.

### 1. Введение

Изучению оптических свойств множественных квантовых ям (МКЯ) GaAs/Al<sub>x</sub>Ga<sub>1-x</sub>As при высоком уровне возбуждения посвящено много работ (см. [1–6] и ссылки там же). Двумерный электронно-дырочный газ, возникающий в квантовых ямах при интенсивности возбуждения  $\approx 2 \cdot 10^5$  Вт/см<sup>2</sup>, обусловливает уменьшение ширины запрещенной зоны (перенормировку) в двумерной системе. В спектрах ФЛ наблюдалось уширение линий,  $\Delta(\hbar\omega) \approx (20 \div 40)$  мэВ, в особенности со стороны длинноволнового края линий [2,3]. Концентрации носителей при этом достигали значений  $n^{2D} = (10^{11} \div 10^{12})$  см<sup>-2</sup> и выше. При таких значениях  $n^{2D}$  спектральные линии уширяются и максимумы сдвигаются в коротковолновую часть спектра вследствие заполнения высокоэнергичных состояний.

В работах [4,5] перенормировка — изменение запрещенной зоны в зависимости от двумерной концентрации — описывалась формулой

$$(E'_g - E_g)/E_{exc} = \text{const} \cdot (n^{2D} a_{exc}^2)^{1/3}, \quad (1)$$

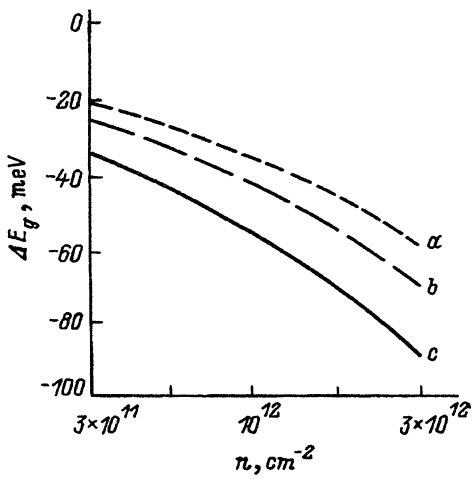


Рис. 1. Уменьшение ширины запрещенной зоны (перенормировка) в 2D-квантовых ямах GaAs/Al<sub>x</sub>Ga<sub>1-x</sub>As в зависимости от концентрации электронов при различном легировании ям донорами. Параметр кривых — отношение концентраций электронов и дырок  $p^{2D}/n^{2D}$ : а — 0.01, б — 0.1, в — 1.0 (из работы [1]).

где  $E_{exc} = e^2/\varepsilon_0 a_{exc} = 1/2m^*a_{exc}^2$  — энергия двумерного экситона,  $a_{exc}$  — его радиус. Для квазидвумерного случая в GaAs

$$(E'_g - E_g) [\text{мэВ}] = -0.0036(n^{2D} [\text{см}^{-2}])^{1/3}. \quad (2)$$

В работе [1] были изучены условия возникновения перенормировки двумерных зон и дан теоретический расчет в двух случаях: в случае нелегированных и легированных ям (рис. 1). В этой работе и последующих публикациях не было экспериментальных данных, сопоставленных с теорией в случае легированных ям.

Настоящая работа посвящена экспериментальному изучению люминесценции легированных квантовых ям GaAs/Al<sub>x</sub>Ga<sub>1-x</sub>As с концентрацией доноров  $N_D \approx (0.5 \div 1) \cdot 10^{18} \text{ см}^{-3}$ .

## 2. Экспериментальные результаты

Исследовались образцы, выращенные методом газовой эпитаксии из металло-органических соединений (МОС гидридной эпитаксии) при температуре 700°C и давлении в реакторе 65 мм рт.ст. (см. таблицу). Образцы были выращены для создания ИК фотоприемников на основе

Данные об образцах МКЯ GaAs/Al<sub>x</sub>Ga<sub>1-x</sub>As и спектрах их фотолюминесценции при  $T = 80 \text{ K}$

№ образца	$x$	$L_z$ , Å	$E_{g1} + E_{1c} + E_{1vh}$ , эВ	$I_0 = 2 \cdot 10^5 \text{ Вт/см}^2$		$I_0 = 0.4 \text{ Вт/см}^2$	
				$\hbar\omega_{max}$ ,	$\Delta(\hbar\omega)_{1/2}$	$\hbar\omega_{max}$ ,	$\Delta(\hbar\omega)_{1/2}$
				эВ	мэВ	эВ	мэВ
1	0.30	33.9	1.662	1.656	35	1.656	17
2	0.30	39.5	1.640	1.630	42	1.626	17
3	0.35	31.1	1.687	1.686	96	1.670	38
4	0.35	28.3	1.707	1.695	88	1.690	44

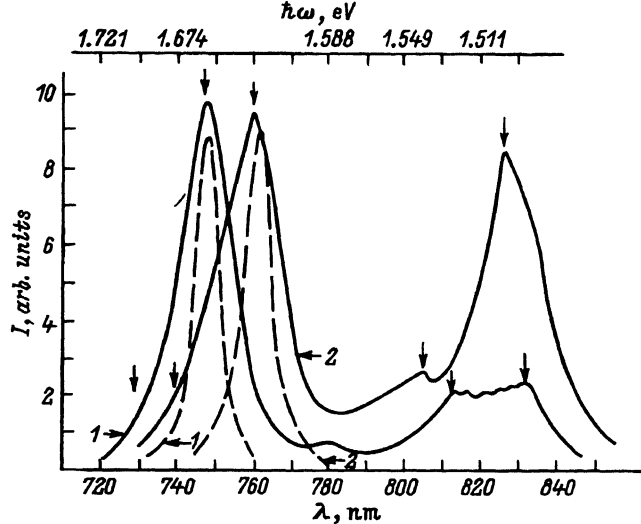


Рис. 2. Спектры фотолюминесценции (ФЛ) образцов 1-й серии (1, 2) при  $T = 80$  К случаях большого ( $I_0 = 2 \times 10^5$  Вт/см $^2$ , сплошные линии) и малого ( $I_0 = 0.4$  Вт/см $^2$ , штриховые линии) уровня возбуждения.

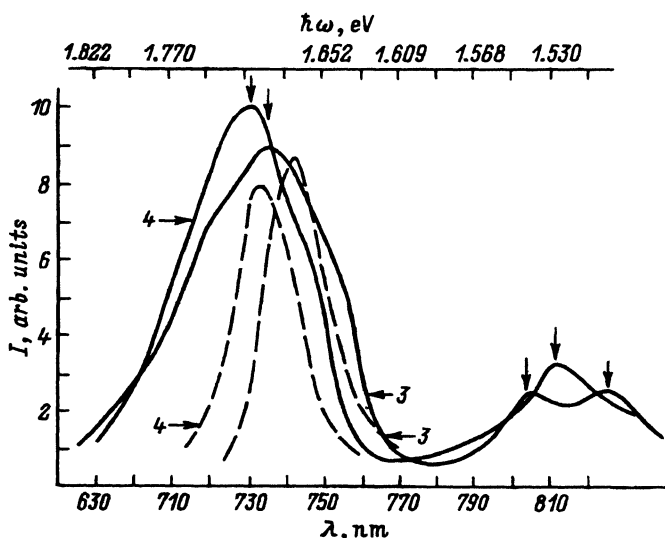


Рис. 3. Спектры ФЛ образцов 2-й серии (3, 4) при  $T = 80$  К в случаях большого ( $I_0 = 2 \times 10^5$  Вт/см $^2$ , сплошные линии) и малого ( $I_0 = 0.4$  Вт/см $^2$ , штриховые линии) уровня возбуждения.

МКЯ [6,7]. Образцы имели от 64 до 70 периодов МКЯ с шириной ям  $L_z = 3 \div 4$  нм (GaAs) и шириной барьеров  $L_B = 23 \div 45$  нм. Ямы легировались (Si) с концентрацией  $N_{D1} = (0.5 \div 1) \cdot 10^{18}$  см $^{-3}$ , барьеры были нелегированы, с остаточной концентрацией  $N_{D2} = (0.8 \div 2) \cdot 10^{16}$  см $^{-3}$ . Подложка и верхний контактный слой из GaAs были сильно легированы до  $N_D = 2 \cdot 10^{18}$  см $^{-3}$ .

На рис. 2,3 приведены спектры ФЛ при высоком уровне возбуждения  $I_0 = 2 \cdot 10^5$  Вт/см $^{-2}$  и температуре  $T = 80$  К. Для первой серии образцов (1, 2) наблюдались максимумы при  $\hbar\omega_{\max} = 1.656 \pm 0.005$  эВ (1) и  $\hbar\omega_{\max} = 1.630 \pm 0.005$  эВ (2). Полуширины линий имеют значения  $\Delta(\hbar\omega)_{1/2} = 35 \div 42$  мэВ (рис. 2). Уширение со стороны высоких энергий на половине интенсивности для образца 1  $\Delta_+ = 8$  мэВ, для образца 2  $\Delta_+ = 16$  мэВ. Со стороны низких энергий для обоих образцов:  $\Delta_- = 10 \pm 1$  мэВ. Максимум в спектре образца 1 сдвигался относительно максимума при малых уровнях возбуждения на 4 мэВ, а для образца 2 не изменился.

Для второй серии образцов 3 и 4 (см. таблицу) максимумы отвечали большим энергиям:  $\hbar\omega_{\max} = 1.686 \pm 0.005$  эВ и  $\hbar\omega_{\max} = 1.695 \pm 0.005$  эВ, в соответствии с уменьшением ширины ямы; полуширина линий была  $\Delta(\hbar\omega)_{1/2} = 88 \div 96$  мэВ (рис. 3). Сдвиги максимумов относительно значений при малых уровнях возбуждения в сторону высоких энергий составляли  $\Delta(\hbar\omega_{\max}) = 16$  мэВ для образца 3 и  $\Delta(\hbar\omega_{\max}) \approx 5$  мэВ для образца 4. Уширение линий со стороны высоких энергий было  $\Delta_+ = 47$  мэВ для образца 3 и  $\Delta_+ = 33$  мэВ для образца 4, со стороны низких энергий  $\Delta_- = 11 \pm 1$  мэВ для обоих образцов.

### 3. Обсуждение результатов

3.1. При возбуждении квантами с энергией  $\hbar\omega_0 = 2.13$  эВ генерация электронов и дырок происходит как в ямах, так и в барьерах, поскольку  $\hbar\omega_0 > E_{g2}$ . На рис. 4 показана энергетическая диаграмма МКЯ GaAs/Al<sub>x</sub>Ga<sub>1-x</sub>As ( $x = 0.30 \div 0.35$ ),  $E_{1c}$  и  $E_{1v,h}$  — уровни размерного квантования относительно краев зон,  $E_{D1}$  — донорные уровни в ямах; заштрихованы энергетические состояния в континууме над барьерами, где возбуждаются светом электроны и дырки.

В условиях эксперимента возбуждение было приблизительно однородно по всем слоям МКЯ. Это можно оценить из отношения диффузионной длины  $L$  к толщине структуры  $d$ . Характерные времена спонтанного излучения в наших условиях, если применить оценки из [1,4], порядка  $t_s \geq (0.5 \div 1) \cdot 10^{-9}$  с. Приняв значение коэффициента диффузии

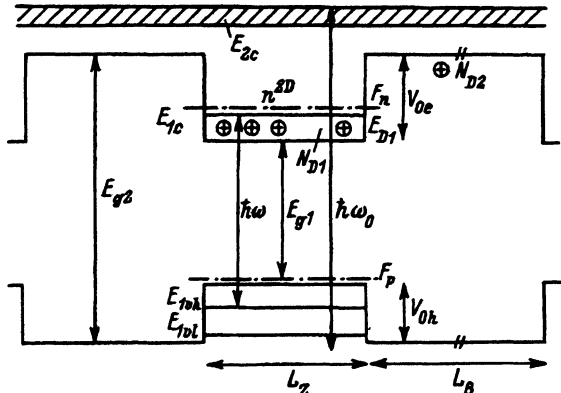


Рис. 4. Энергетическая диаграмма МКЯ GaAs/Al<sub>x</sub>Ga<sub>1-x</sub>As.

$D \approx 120 \text{ см}^2/\text{с}$  [8], получим оценку  $L = (Dt_s)^{1/2} \approx 2.4 \div 3.5 \text{ мкм}$ ; толщина структуры, без учета подложки,  $d = 3.5 \text{ мкм}$ . Таким образом, можно принять, что слои структуры в условиях эксперимента возбуждаются приблизительно однородно.

Опеним концентрацию электронно-дырочных пар, считая, что квантовый выход при данной энергии кванта  $\hbar\omega_0$  равен единице:

$$n_{e-h} = (1 - R)I_0\tau_{e-h}/\hbar\omega_0 M; \quad R = (\bar{n} - 1)/(\bar{n} + 1), \quad (3)$$

где  $\bar{n} = 3.6$  — показатель преломления,  $M$  — число слоев структуры,  $\tau_{e-h}$  — время жизни пар. Подставив значения параметров и считая  $\tau_{e-h}$  подбираемым параметром, получим

$$n_{e-h} = (6 \cdot 10^{21})\tau_{e-h} [\text{с}]. \quad (4)$$

Следуя работе [4], будем считать, что время жизни определяется излучательными межзонными переходами и при увеличении уровня возбуждения уменьшается от значений, соответствующих спонтанному излучению ( $> 500 \text{ пс}$ ), до соответствующих вынужденному излучению электронно-дырочной плазмы ( $< 50 \text{ пс}$ ). Тогда из формулы (4) следует

$$0.3 \cdot 10^{12} \leq n_{e-h} \leq 3 \cdot 10^{12} [\text{см}^{-2}]. \quad (5)$$

Поскольку длительность возбуждения в наших опытах была около 25 нс, т. е. намного больше оцененных значений  $\tau_{e-h}$  (время жизни пар), можно считать, что излучение обусловлено квазистационарной электронно-дырочной плазмой с концентрацией в пределах, определяемых формулой (5). В этих пределах значение перенормировки, согласно формуле (2), составляет  $\Delta E'_g = 20 \div 40 \text{ мэВ}$ .

3.2. Опеним эффективную плотность состояний  $N^{2D}$  и значения квазиуровней Ферми в наших опытах. Из условий нейтральности при предположении квазидвумерного спектра имеем

$$\begin{aligned} n^{2D} &= N_{c1}^{2D} \ln \left[ 1 + \exp((F - E_{1c})/kT) \right] \cdot kT, \\ N_{c1}^{2D} &= m_{c1}^*/\pi\hbar^2; \quad m_{c1}^* = m_{c0}^* \left[ 1 + 2(E_{1c} + kT)/E_{g1} \right]. \end{aligned} \quad (5)$$

Аналогичны формулы для тяжелых дырок в валентной зоне, но для них не нужно учитывать непарabolичности (последнее равенство). Подставив параметры, получим

$$N_{c1}^{2D} kT = 2 \cdot 10^{11} \text{ см}^{-2}; \quad N_{v1}^{2D} kT = 3 \cdot 10^{12} \text{ см}^{-2}. \quad (6)$$

При малом уровне возбуждения концентрация электронов в ямах определяется концентрацией доноров в ямах, а также в барьерах и равна  $n^{2D} \approx (1.5 \div 3) \cdot 10^{11} \text{ см}^{-2}$ . Это означает, что электроны заполняют донорные состояния (квазидискретные или хвосты плотности) и уровень Ферми расположен выше  $E_{1c}$  на величину порядка  $kT$ , т. е. электронный газ слабо вырожден. Для дырок квазиуровень Ферми расположен выше  $E_{1v,h}$ , т. е. дырочный газ невырожден.

При больших уровнях возбуждения  $n^{2D}$  заведомо больше  $N_{cl}^{2D}kT$  и электронный газ вырожден. Дырочный газ может быть вырожден только для верхних оценок неравновесной концентрации:

$$p \approx n^{2D} \ll N_{cl}^{2D}kT. \quad (7)$$

3.3. В работах [6,7] был проведен расчет  $E_{1c}$  и  $E_{1vh}$  и показано, что основные линии в спектрах люминесценции соответствуют излучательным переходам между уровнями размерного квантования, с учетом флуктуаций ширины ям и сдвига в сторону меньших энергий, обусловленного легированием донорами, на  $6 \div 14$  мэВ. Из анализа, проведенного в работе [9] для аналогичных условий, следует, что при концентрациях доноров  $N_{D1} \approx (0.5 \div 1) \cdot 10^{18} \text{ см}^{-3}$  происходит слияние донорных уровней с уровнями размерного квантования и образование хвоста плотности состояний. Однако в соответствии с [6,7] в наших опытах наиболее существенным параметром является ширина ям  $L_z$  и уширение основных линий обусловлено главным образом флуктуациями ширины ям в пределах  $1 \div 3$  атомных слоев.

3.4. При высоком уровне возбуждения уширение линий можно объяснить следующим образом. Образцам первой серии соответствуют случаи  $L_z = 6a_0 = 3.39 \text{ нм}$  с флуктуациями островкового типа  $\approx a_0/2$  (образец 1) и  $L_z = (6 \div 7)a_0$  с флуктуациями как островкового, так и террасного типа (образец 2). Энергии уровней размерного квантования при этом приблизительно обратно пропорциональны  $L_z$  и имеют соответствующие флуктуации. При малой степени возбуждения заполняются уровни размерного квантования с меньшей энергией, в более широких ямах,  $L_z = 6a_0$  и  $6a_0 + a_0/2$ , а с увеличением степени возбуждения, когда концентрации электронов больше  $N_{cl}^{2D}kT$ , заполняются состояния с большей энергией, соответствующие более узким ямам,  $L_z = 6a_0 - a_0/2$ . Поскольку для образца 2 флуктуации  $L_z$  больше, сдвиг энергии в максимуме должен быть больше, чем для образца 1; энергия  $\hbar\omega_{max} = 1.662 \text{ эВ}$  соответствует  $L_z = 6a_0$  и  $6a_0 - 2(a_0/2)$ .

При такой интерпретации спектров понятно и уширение линий люминесценции со стороны высоких энергий для разных образцов. Для образца 2 величина  $\Delta_+ = 21 \text{ мэВ}$  больше, чем для образца 1  $\Delta_+ = 14 \text{ мэВ}$  (значения  $\Delta_+ = 16 \text{ мэВ}$  для образца 2 и  $\Delta_+ = 8 \text{ мэВ}$  для образца 1).

Для образцов второй серии величина барьера  $V_{0e}$  больше (большее содержание Al в GaAlAs) и влияние флуктуаций размеров ям существенное (см. таблицу); сдвиги максимумов при увеличении уровня возбуждения становятся больше (16 мэВ для образца 3 и 5 мэВ для образца 4). Соответственно существенно больше и уширение линий со стороны высоких энергий. Расчет энергий уровней, соответствующих более узким ямам  $L_z = 6a_0 - 2(a_0/2)$ , дает для образца 3  $\hbar\omega_{max} = 1,723 \text{ эВ}$  и для образца 4  $\hbar\omega_{max} = 1.751 \text{ эВ}$ . Это должно приводить к уширению линий в спектрах этих образцов  $\Delta_+ = 36 \text{ мэВ}$  для образца 3 и  $\Delta_+ = 44 \text{ мэВ}$  для образца 4 (в эксперименте значения  $\Delta_+ = 47 \text{ мэВ}$  и  $\Delta_+ = 33 \text{ мэВ}$ , соответственно).

3.5. Обсудим другую возможную причину уширения линий со стороны высоких энергий — участие легких дырок в излучательных переходах при высоких уровнях возбуждения. Для образцов первой

серии (1 и 2) расчет уровня  $E_{1vl}$  дает значения  $\hbar\omega_{max} = 1.701$  эВ и  $\hbar\omega_{max} = 1.678$  эВ (стрелки на рис. 2); это заметно больше, чем наблюдавшиеся сдвиги в наших опытах. Поэтому можно считать, что для этих образцов влиянием легких дырок можно пренебречь.

Для образцов второй серии (3 и 4) наблюдаемое уширение линий при больших степенях возбуждения заметно больше, и расчеты положения уровней  $E_{1vl}$  дают значения  $\hbar\omega_{max}$ , которые сравнимы с наблюдаемыми сдвигами в спектрах. Поэтому для этих образцов излучательные переходы с участием легких дырок не исключены.

**3.6. Уширение спектральных линий со стороны низких энергий при малых уровнях возбуждения** обсуждалось в [6,7] и связано с донорными состояниями; в соответствии со сказанным выше доноры при больших концентрациях образуют квазинепрерывный спектр типа хвоста плотности состояний. При больших возбуждениях должна происходить перенормировка (уменьшение) ширины запрещенной зоны и совместное действие этих эффектов приводит к смещению и уширению в сторону низких энергий. Как следует из опытов, эти эффекты действуют приблизительно одинаково для всех образцов. Поскольку одновременно происходят смещение и уширение в сторону высоких энергий, следует учитывать все эти эффекты единым образом.

Рассмотрим возможность такого учета, считая, что комбинированная 2D плотность состояний имеет вид ступени с экспоненциальным хвостом и описывается формулой [10]

$$N^{2D}(\hbar\omega) \sim \left[ 1 + \exp(-(\hbar\omega - E'_g)/\Gamma) \right]^{-1}, \quad (8)$$

где  $E'_g$  — измененная ширина запрещенной зоны, а  $\Gamma$  — параметр экспоненциального хвоста. Величина перенормировки  $\Delta E_g = E'_g - E_g$  может быть оценена теоретически [4,5]. Будем считать, что распределение электронов по состояниям описывается квазиуровнем Ферми  $F_n$ , а распределение дырок —  $F_p$ . Будем предполагать распределение дырок невырожденным. Излучательные переходы в квантовых ямах будем предполагать прямыми, т. е. с сохранением квазимпульса.

Тогда форма спектральной линии может быть представлена в виде

$$I(\hbar\omega) \sim N^{2D}(\hbar\omega) f_c(1 - f_v),$$

$$f_c = \left[ 1 + \exp(m_{vh}^*(\hbar\omega - E'_g)/(m_{c1}^* + m_{vh}^*)kT - (F_n - E_{1c})/kT) \right]^{-1}, \quad (9)$$

$$1 - f_v = \left[ 1 + \exp(m_{c1}^*(\hbar\omega - E'_g)/(m_{c1}^* + m_{vh}^*)kT - (F_p - E_{1vh})/kT) \right]^{-1}.$$

Вообще говоря, формула для прямых переходов неприменима для хвоста плотности состояний; но мы будем считать, что для учета различной формы хвоста плотности состояний вблизи  $E_c$  и вблизи  $E_v$ , зависимости вероятности межзонных переходов от энергии и других факторов достаточно оставить один параметр — отношение эффективных масс в показателях. Мы принимали в расчетах значение  $m_{c1}^*/(m_{c1}^* + m_{vh}^*) = 0.17$ . Величина  $T$  в формулах (9) может отличаться

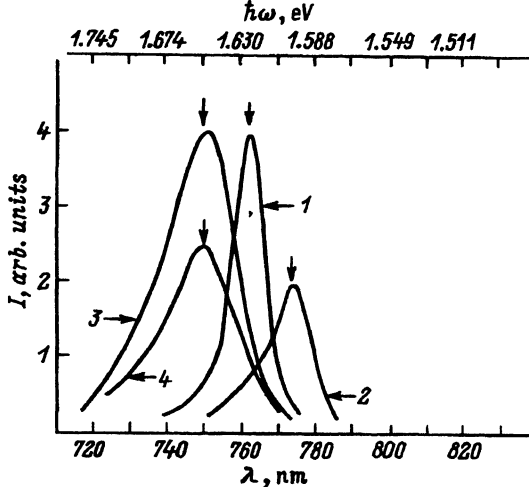


Рис. 5. Спектры ФЛ при  $T = 180$  К при малом уровне возбуждения для образцов из таблицы; положение максимумов  $\hbar\omega_{\text{max}}$  эВ: 1 — 1.626, 2 — 1.601, 3 — 1.645, 4 — 1.652.

от температуры решетки. Но наши измерения температурной зависимости (рис. 5) показали, что нагрев образцов во время импульса возбуждения не превышает 5 К. Таким образом, при 80 К можно принять температуру электронов равной температуре решетки; принималось  $kT = 0.007$  эВ.

Таким образом, для описания спектров формулой (9) нужно подбирать три параметра:  $E'_g$  влияет главным образом на положение максимума,  $\Gamma$  — на уширение в длинноволновую сторону,  $F_n$  — на уширение в коротковолновую сторону, в невырожденном случае форма спектра не зависит от  $F_p$ . На рис. 6, а показаны результаты подбора при малом и большом уровне возбуждения, проведенного на компьютере с применением программы Easy Plot. Результаты показывают, что при малом уровне возбуждения для образца 1 при  $\Delta E'_g = 8$  мэВ,  $F_n = 0.005$  эВ и  $\Gamma = 0.003$  эВ кривая, рассчитанная по формуле (9), хорошо согласуется с экспериментом.

В случае большого уровня возбуждения подбор параметров для описания спектров формулой (9) усложняется. Наблюдаемое уширение спектра в коротковолновой области можно описать, увеличивая параметр  $F_n - E_{1c}$  до значений, соответствующих  $n^{2D} > 5 \cdot 10^{12}$  см<sup>-2</sup>. Но и при таких завышенных значениях спад линии гладкий, не имеющий наблюдаемых экспериментально перегибов. Лучшее согласие расчетов с опытом можно получить, учитывая при большом уровне возбуждения вклад более узких ям. Тогда интенсивность люминесценции следует описывать суммой

$$I(\hbar\omega) = \sum_n \alpha_n I_n(\hbar\omega), \quad (10)$$

где  $\alpha_n$  — подбираемые коэффициенты, а индекс  $n$  нумерует ямы. В этом приближении квазиуровень Ферми  $F_n$  един во всей области, и для разных ям значения параметров  $F_n - E_{1c}$  различны.

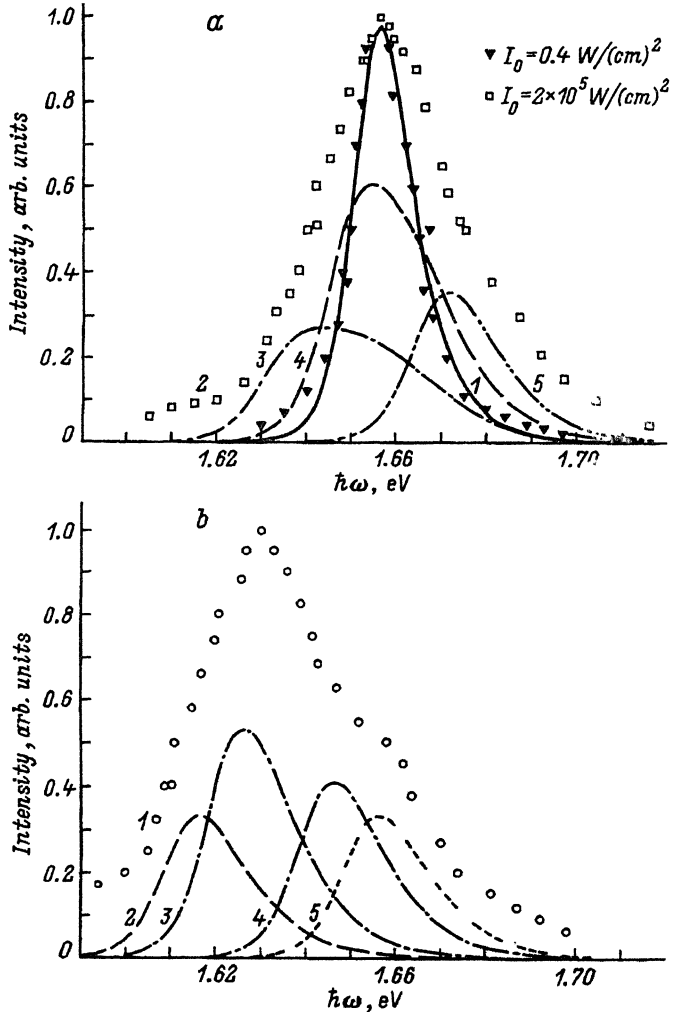


Рис. 6. Сравнение экспериментальных спектров люминесценции при 80 К (точки, из рис. 2) со спектрами, рассчитанными по формуле (9) (кривые); *a* — образец 1. 1 — малый уровень возбуждения, параметры кривой:  $E'_g = 1.654 \text{ eV}$ ,  $(F_n - E_{1c}) = 0.006 \text{ eV}$ ,  $\Gamma = 0.003 \text{ eV}$ , кривые 3—5 соответствуют высокому уровню возбуждения и ширине ям  $(L_z + a_0/2)$  (3),  $L_z$  (4),  $(L_z - a_0/2)$  (5). Интенсивности возбуждения для экспериментальных спектров, Вт/см<sup>2</sup>: 1 — 0.4, 2 —  $2 \cdot 10^5$ . *b* — образец 2. Рассчитанные кривые соответствуют разной ширине квантовых ям (штрихованные линии)  $(L_z + 2 \cdot (a_0/2))$  (2),  $(L_z + a_0/2)$  (3),  $(L_z - a_0/2)$  (4),  $(L_z - 2 \cdot (a_0/2))$  (5). Интенсивность возбуждения для экспериментального спектра 1 составляет  $2 \cdot 10^5 \text{ Вт/см}^2$ .

Из экспериментальных результатов на рис. 6, *b* для образца 2 видно, что наблюдаемые перегибы можно описать вкладом более узких ям. Но подбор  $\alpha_n$ ,  $F_n - E_{1c}$  на рис. 6, *b* не показан, поскольку он неоднозначен из-за большого числа параметров. Уширение линий в длинноволновую сторону в формуле (10), кроме увеличения параметров  $\Gamma$  и  $E'_g$ , еще обусловлено возрастанием в спектрах доли различных ям, главным образом с большими значениями  $L_z$ .

Главную роль в формуле (10) играет член с наиболее вероятным  $L_z$ , соответствующим технологическим расчетным значениям, и члены, соответствующие  $L_z \pm a_0/2$ . Понятно из изложенного, что при больших уровнях возбуждения роль флуктуаций ширины ям в спектрах люминесценции возрастает. Так, для образца 1 вклад ям с  $L_z \pm a_0/2$  относительно мал,  $\alpha_n < 0.3$ , а для образца 2 — больше,  $\alpha_n \approx 0.5$  для  $L_z = a_0/2$ . Для образцов 3 и 4 существен вклад ям с  $L_z \pm 2(a_0/2)$  и ширина линий при больших уровнях возбуждения еще больше.

При подборе параметров на рис. 6 значения изменений ширины запрещенной зоны при больших уровнях возбуждения получались равными  $E_g' \approx 20$  мэВ, что меньше значений для теоретических зависимостей при  $n^{2D} = (0.2 \div 3) \cdot 10^{12}$  см<sup>-2</sup> (рис. 1). Это обусловлено тем, что ямы исходно сильно легированы донорами и уже при малых уровнях возбуждения концентрация электронов достаточно велика и вносит вклад в перенормировку.

Согласно работам [11, 12] при высоких концентрациях возбужденных электронно-дырочных пар происходит диффузия носителей от областей в слоях с большей концентрацией к областям с меньшей концентрацией. Это приводит в спектрах фотolumинесценции к уширению линий без сдвига максимумов относительно малого уровня возбуждения. Наши экспериментальные данные и полученное малое значение  $E_g'$  для перенормировки можно объяснить, учитывая вышеизложенные эффекты и перераспределение носителей по квантовым ямам разной ширины.

#### 4. Выводы

1. В спектрах фотolumинесценции множественных квантовых ям GaAs/Al<sub>x</sub>Ga<sub>1-x</sub>As с шириной ям порядка 6÷7 постоянных решетки, и легированных донорами Si с концентрацией в ямах  $N_{D1} = (5 \div 10) \times 10^{18}$  см<sup>-3</sup> при высоком уровне возбуждения  $I_0 \approx 2 \cdot 10^5$  Вт/см<sup>2</sup>, проявляются сдвиги и уширения линий, обусловленные со стороны высоких энергий эффектами заполнения двумерных состояний главным образом в квантовых ямах с малой шириной и флуктуациями ширины ям порядка постоянной решетки.

2. Уширение и сдвиги линий со стороны низких энергий связаны с возникновением хвоста плотности состояний при указанных концентрациях и с увеличением концентрации неравновесных носителей при больших уровнях возбуждения.

3. Теоретическое описание спектров формулами (9), учитывающими хвост плотности состояний и изменение квазиуровней Ферми при возбуждении, оказывается возможным для образцов, в которых флуктуации ширины ям сравнительно малы. При больших уровнях возбуждения согласие теоретических расчетов с опытом требует поправок, учитывающих флуктуации. Для случаев больших флуктуаций возможно описание спектров этими формулами путем суммирования вкладов ям различной ширины; но в этом случае подбор параметров неоднозначен.

Авторы выражают благодарность В.А. Горбылеву, И.Д. Залевскому и А.И. Петрову за предоставление образцов, А.Г. Миронову за обсуждение результатов работы.

## Список литературы

- [1] S. Das Sarma, R. Jalabert, S.R. Eric Yang. Phys. Rev. B, **39**, 8289 (1989).
- [2] G. Bongiovanni, J.L. Stachli. Phys. Rev. B, **39**, 8359 (1988).
- [3] G. Trankle, H. Leier, A. Forchel. Phys. Rev. Lett., **58**, 419 (1987).
- [4] R. Cingolani, H. Kalt, K. Ploog. Phys. Rev. B, **42**, 7655 (1990).
- [5] S. Schmitt Rink, D.S. Chemla, A.D. Miller. Adv. Phys., **38**, 89 (1989).
- [6] В.А. Горбылев, И.Д. Залевский, А.И. Петров, А.А. Чельный, Г.Х. Аветисян, Б.В. Кузнецов, М.В. Чукичев, А.Э. Юнович. ФТП, **27**, 1453 (1993).
- [7] Б.Р. Варданян, Р.Р. Резванов, М.В. Чукичев, А.Э. Юнович. ФТП, **28**, 259 (1994).
- [8] R. Cingolani, K. Ploog. Phys. Rev. B, **42**, 2893 (1990).
- [9] A. Gold, A. Ghazali, J. Serre. Semicond. Sci. Technol., **7**, 972 (1992).
- [10] R. Cingolani, W. Stoltz, K. Ploog. Phys. Rev. B, **40**, 2950 (1989).
- [11] Л.В. Бутов, В.Д. Кулаковский, А. Форхел. ЖЭТФ, **98**, 2135 (1990).
- [12] V.D. Kulakovski, E. Lach, A. Forchel, D. Grutmacher. Phys. Rev. B, **42**, 8087 (1989).

Редактор В.В. Чалдышев

## Photoluminescence of doped multiple GaAs/Al<sub>x</sub>Ga<sub>1-x</sub>As quantum wells at high excitation level

*B.R. Vardanyan, A.E. Yunovich*

Moscow State University, Moscow, Russia

---